

پتروگرافی و بررسی ارتباط بین دگرشکلی و دگرگونی سنگ‌های رسی دگرگون کوه ارغون، غرب معدن سرب و روی انگوران، استان زنجان

عادل سرخوشی^(۱)، محسن مؤذن^۲ و جواد ایزدیار^۳

۱. کارشناسی ارشد، گروه زمین‌شناسی، دانشکده علوم، دانشگاه زنجان، ایران

۲. استاد، گروه زمین‌شناسی، دانشکده علوم، دانشگاه تبریز، ایران

۳. استادیار، گروه زمین‌شناسی، دانشکده علوم، دانشگاه زنجان، ایران

تاریخ دریافت: ۹۱/۰۵/۳

تاریخ پذیرش: ۹۲/۱۰/۱۱

چکیده

منطقه مورد بررسی (غرب معدن سرب و روی انگوران در استان زنجان) از نظر ساختمانی در زون ایران مرکزی قرار دارد. در این منطقه سنگ‌های دگرگونی از نوع کلریت‌شیست، اپیدوت - آمفیبول‌شیست، گارنت-آمفیبول‌شیست، میکاشیست، مرمر، کوارتزیت و گابرو - دیوریت‌های دگرگون شده وجود دارند. در این مطالعه سنگ‌های رسی دگرگون به دلیل ترکیب مناسب و ظهور کانی‌ها و ثبت فازهای دگرشکلی بیشتر مورد بررسی قرار گرفته است. با مطالعات پتروگرافی روی متاپلیت‌ها سه گروه سنگی شامل، بیوتیت شیست‌ها، گارنت‌شیست‌ها و موسکویت‌شیست‌ها مشخص شد. تحولات دگرگونی پسرونده تحت شرایط کاهش فشار و دما در طی بالاً‌آمدگی سنگ‌های دگرگونی در شیست‌های رسی کوه ارغون مشهود است. مهمترین دگرشکلی در ایجاد پتروفابریک سنگ‌های منطقه به صورت خاموشی موجی، کشیدگی کانی‌ها، سایه‌فشاری، جهت‌یابی ترجیحی کانی‌ها و سایر ویژگی‌ها دیده می‌شود. با مطالعات پتروگرافی و با توجه به ارتباط بین ساختارها و ارتباط پورفیروبلاست‌ها با زمینه (ریز ساخت‌ها)، سه فاز دگرشکلی در منطقه تعیین شد که فاز دگرشکلی دوم می‌باشد که برگوارگی اصلی منطقه را به وجود آورده است و فاز دگرشکلی سوم است که با دگرگونی همراه نبوده است. با اولین فاز دگرشکلی D_1 ، دگرگونی M_1 اتفاق افتاده است که باعث تبلور کانی‌های کلریت، موسکویت، کوارتز، بیوتیت و گارنت شده است. دگرگونی M_2 ، همزمان با دگرشکلی D_2 به صورت پیش‌رونده صورت گرفته است. مجموعه کانی‌شناسی M_2 شامل بیوتیت، موسکویت، کوارتز و گارنت می‌باشد. طی فاز ضعیف دگرشکلی D_3 کلریت با جهت یافتنگی غیر واضح در سنگ‌ها تشکیل شده است.

واژه‌های کلیدی: دگرشکلی و دگرگونی، سنگ‌های رسی دگرگون، پتروفابریک، کوه ارغون، انگوران.

(Passchier and Trouw, 1996; Best, 2003; Timms, 2003)

مقدمه

حجمی از سنگ که اثرات دگرگونی و دگرشکلی را در بر می‌گیرد تغییراتی در کانی‌شناسی، بافت و ساخت به وجود می‌آید که به کمک این تغییرات می‌توان به تاریخچه تشکیل سنگ و تکتونیک منطقه پی برد. در این بین رابطه میان پورفیروبلاست‌ها و زمینه

در حوادث پیچیده کوهزایی بیشتر سنگ‌های دگرگونی بیش از یک مرحله دگرگونی و دگرشکلی را نشان می‌دهند. با بررسی دقیق پتروگرافی می‌توان از ارتباط بین رویدادهای دگرگونی و دگرشکلی درک درستی داشت; Vernon, 1994; Barker, 1990;

سه مرحله دگرشكلي اتفاق افتاده است و مجموعه متنوعی از فابريک های ساختاري در سنگ ها ايجاد شده است. در اين تحقيق، با برداشت نمونه های جهت يافته و مطالعه شواهد پتروفابريک آنها در مقاطع ميكروسكopic، مراحل دگرشكلي و ارتباط آنها با مراحل دگرگونی های موجود در منطقه بررسی شده است.

زمین‌شناسی عمومی منطقه

منطقه مورد مطالعه بخشی از جنوب شرقی نقشه زمین‌شناسی ۱:۱۰۰۰۰۰ تکاب - تخت سليمان است که بين طول‌های جغرافیایی ۲۲۰۴۷'۴۴ و ۱۹۰۴۷'۱۴ شرقی و عرض‌های جغرافیایی ۳۷۵۳۶'۰۳ و ۳۷۵۳۶'۵۴ شمالی واقع می‌باشد (شکل ۱). اين منطقه در زون ايران مرکزي قرار گرفته است (Berian and King, 1982). منطقه جنوب غرب ماشنان داراي ترکيب متنوعی از سنگ‌های گرانوليت، متابازيت، آمفيبوليت‌ها، گنيس‌ها، ميگماتيت‌ها و سنگ‌های متاولترامافيك، ميکاشيست‌ها و سنگ‌های جهت‌يافته و گرانيت‌وئيدها است (Hajjalioghli et al., 2007; Moazzen et al., 2009) مهمترین سنگ‌های منطقه مورد مطالعه عبارتند از تناوبی از گنيس، مرمر و آمفيبوليت که با ضخامت‌های متفاوت بروند دارند. سن دقیق اين واحد سنگی مشخص نیست ولی با توجه به روابط چينی‌ای در نقشه‌های زمین‌شناسی ماشنان و تخت سليمان، سن قبل از کامبرین برای آنها در نظر گرفته شده است (شکل ۱). سنگ‌های وابسته به اين واحد، بروند گسترده آهک‌های قدیمي موسوم به آهک جان‌گوتاران است که ارتفاعات بلندی را در جنوب منطقه ايجاد کرده است. سنگ‌های بازيک و الترابازيك که بعض‌ا داراي MgO بالاي هستند و توسط Hajjalioghli و همكاران (2007) به عنوان کوماٹيت‌های دگرگون معرفی شده‌اند در منطقه بروند دارند. قسمت فوكانی اين واحد سنگی دگرگون، تناوبی از ميکاشيست‌های گارنت‌دار و کوارتزيت است. هر چند تمامی سنگ‌های دگرگونی اين منطقه مورد مطالعه قرار گرفته‌اند، عمدتاً مطالع مقاالت حاضر به بررسی فازهای دگرگونی و دگرشكلي در سنگ‌های رسی دگرگون اختصاص دارد. سنگ‌های رسوبی و آتشفسانی دوران سوم و رسوبات دوران چهارم سنگ‌های دگرگونی را می‌پوشانند.

پتروگرافی شیسته‌ای رسی

بيشترین گسترش سنگ‌های رسی دگرگون در شمال منطقه و به صورت ميان‌لايه در ديگر قسمت‌های منطقه مورد مطالعه می‌باشد (شکل ۲a). سنگ‌ها در نمونه دستی به رنگ خاکستری و قهوه‌ای با گارنت‌های نسبتاً درشت دیده می‌شوند (شکل ۲b). مشخص‌ترین ساخت آنها شیستوزیته است. در برخی نمونه‌ها ساختارهای برشی ناشی از فازهای تکتونیکی دیده می‌شوند. بافت اين سنگ‌ها معمولاً لپیدوگرانوبلاستی می‌باشد که در آن میکاهای عمدها بیوتیت و موسکویت بافت لپیدوبلاستی و کوارتز و گارنت بافت گرانوبلاستی را به وجود آورده‌اند. مجموع کانی‌های

سنگ اهمیت ویژه‌ای دارد (Spry, 1969; Barker, 1990) در برداری‌های درون پروفیرو بلاست‌ها طی رشد کانی می‌تواند روابطی را به وجود آورد که می‌توان از روی آنها به سرگذشت دگرشكلي پی برد (Bell and Johnson, 1989). احتمالاً سنگ‌های رسی دگرگون شناخته‌شده‌ترین خانواده سنگ‌های دگرگونی هستند (Bucher and Grapes, 2011) در بسياری از نواحي دگرگونی، کانی‌های شاخن‌ص موجود در سنگ‌های رسی دگرگون، توزيع فضائي منظمی را نشان می‌دهند که می‌تواند به راحتی باشد دگرگونی مرتبط (Yardley, 1989). زون‌های کانی‌ها و روابط فازی موجود در سنگ‌های رسی دگرگون، اغلب می‌دهد که شدت و ماهیت دگرگونی در ناحیه‌ای معین در مقیاس‌های مختلف به تفصیل مورد تجزیه و تحلیل قرار گیرد. به علاوه سنگ‌های رسی دگرگون به علت داشتن کانی‌های میکایی، فازهای دگرشكلي مرتبط با دگرگونی را به خوبی در خود حفظ می‌کنند که با مطالعه آنها می‌توان به سرگذشت دگرشكلي و دگرگونی و در نتیجه، تاریخچه ژئودینامیکی یک منطقه پی برد. ترکیب دگرگونی و دگرشكلي با ايجاد ساختهای سنگی خاص می‌تواند به عنوان ابزار کارآمدی برای شرح تاریخچه زمین‌شناسی به شمار آید. هندسه چین‌ها، الگوی تداخلی و سبك آنها نيز در چنین تحلیلهای سودمند است. با توجه به اين‌که در يك سرزمین دگرگونی ممکن است کانی‌های مختلف دگرگونی قبل، همزمان و يا بعد از دگرشكلي تشکيل شوند، برای درک تاریخچه دگرگونی و دگرشكلي و در نهايی شناسایي رخدادهای تکتونیکی هر منطقه، بررسی دقیق ارتباط بین تبلور کانی‌ها و توسعه دگرشكلي‌ها مهم است. اين مسئله بخصوص در ترسیم نمودارهای P-T-t (D که به ترتیب معرف چگونگی تحولات فشار - دما در طول زمان يا در حین دگرشكلي هستند) حائز اهمیت است (Marshak and Mitra, 1998) تغیير شکل سنگ‌ها و کانی‌ها در محدوده مطالعات زمین‌شناسی ساختمانی و ژئوفیریک قرار دارد ولی در دگرگونی ناحیه‌ای نيز از اهمیت خاصی برخوردار است. مطالعات مزبور کمک زیادي به فهم تأثیر تغیير شکل بر واکنش‌ها و فابريک‌های دگرگونی می‌کند (Yardley, 1989). مهم‌ترین هدف‌های مطالعه دگرشكلي در سنگ‌های دگرگونی منطقه مورد مطالعه به قرار زير است.

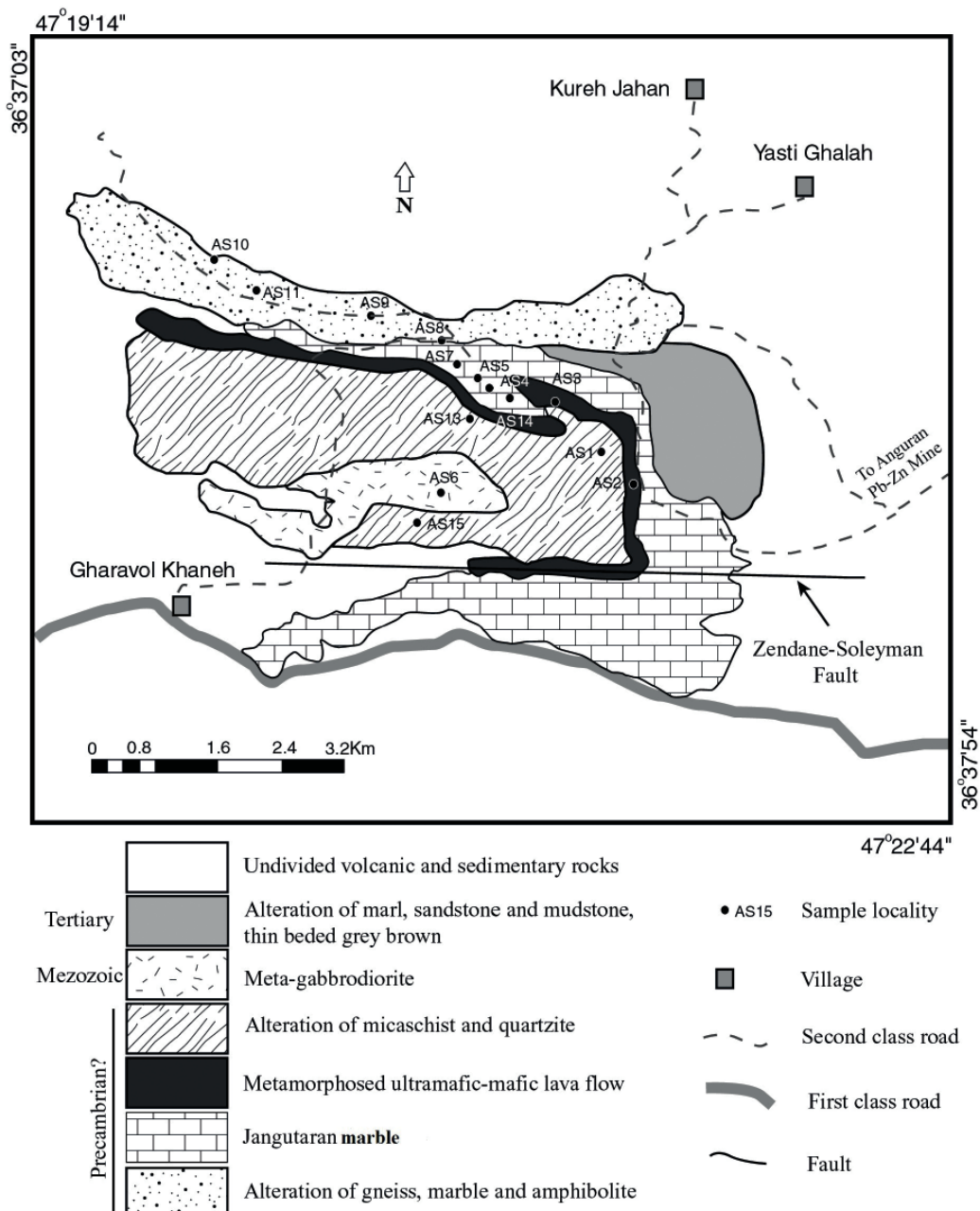
الف- تشخيص فازهای تکتونیکی توسط دگرشكلي‌های ايجاد شده مانند شیستوزیته و ارتباط آن با پروفیرو بلاست.

ب- تشخيص انواع دگرگونی با توجه به زمان تبلور کانی‌ها نسبت به فازهای دگرگونی و يا به عبارتی ارتباط دگرشكلي با دگرگونی.

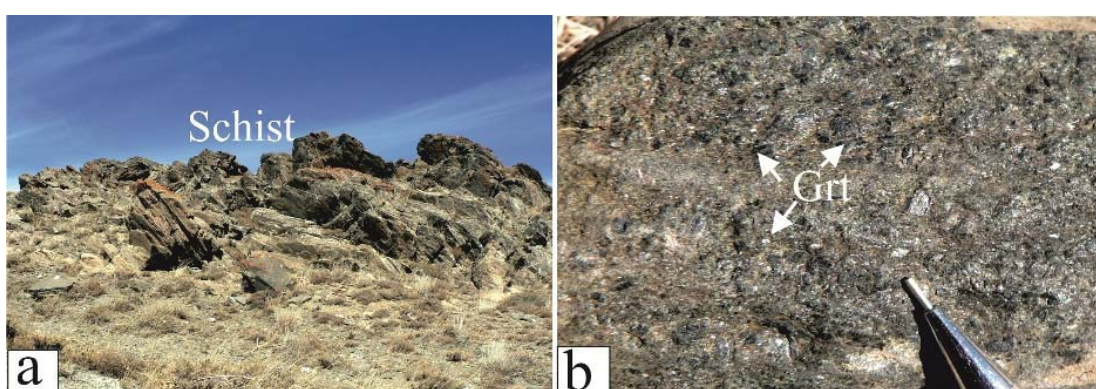
ج- تشخيص چين‌های ايجاد شده بر اثر دگرشكلي و ارتباط آن با ساختارهای عمومی منطقه.

د- شرایط تشکيل سنگ و ارتباط آن با توده نفوذی موجود در منطقه.

در منطقه جنوب غرب ماشنان، غرب معدن سرب و روی انگوران و در محل کوه ارغون در سنگ‌های دگرگون رسی،



شکل ۱. نقشه زمین‌شناسی منطقه مورد مطالعه همراه با محل نمونه‌ها (اقتباس از نقشه ۱:۱۰۰۰۰۰ : ۱ تخت سلیمان سازمان زمین‌شناسی کشور).



شکل ۲. (a) نمایی از شیستهای منطقه (دید به سمت شمال). (b) دانه‌های نسبتاً درشت گارنت (Grt) در نمونه صحرایی.

جدول ۱. مجموع کانی های موجود در سنگ های رسی دگرگون منطقه مورد مطالعه. (علاوه اختصاری از Kretz (1983).

Sample No	GR	Chl	Bt	Ms	Qtz	Fs	Grt	Cal	Amp	Pl	Ep	Zrc	Ore	Ap
AS-6A	N36°38'41"	E47°22'06"	*	*	*	*						0	0	
AS-10	N36°39'22"	E47°19'37"		*	*	*	*						0	
AS-7	N36°38'51"	E47°21'46"	*	*	*	*		0		0		0	0	0
AS-11D	N36°39'36"	E47°19'09"		*	*	*	*							
As-11E	N36°39'36"	E47°19'09"	*	*	*	*	*					0		
AS-11C	N36°39'36"	E47°19'09"		*	*	*	*							
AS-11B	N36°39'36"	E47°19'09"	*	*	*	*	*			0			0	
AS-15	N36°37'29"	E47°21'27"	*		*	*	*	0	0		0		0	

*= Major phase 0=Minor phase

از هر دو نوع متقارن و نامتقارن است. در بعضی موارد به علت عملکرد دگرگونی برگشتی، گارنت ها تجزیه شده اند و در حاشیه و شکستگی ها توسط بیوتیت، کلریت و اکسید آهن جایگزین شده اند. این گارنت ها دارای شکستگی های موازی می باشند که به احتمال زیاد شکستگی ها حاصل بالآمدگی و رهایی از فشار می باشند (شکل ۳c). شکستگی های مشابه در سنگ ها نیز دیده می شوند (شکل d). در بعضی موارد گارنت به صورت ایدیوبلاست و ریزدانه دیده می شود (شکل ۳e). بلورهای کوارتز کشیده با دانه های بزرگ فلدسپار با دربرداری های، کوارتز و مسکویت برخلاف مسکویت های زمینه جهت گیری کرده اند که نشان دهنده دو فاز دگرشكلي S1 و S2 است (شکل f). در بعضی قسمت ها اطراف پورفیربلاست ها سایه فشاری دیده می شود که نشان دهنده تشکیل پورفیربلاست ها قبل از دگرشكلي اصلی می باشد. کوارترها در این قسمت خاموشی موجی نشان می دهند (شکل ۳g).

موسکویت شیست ها

این سنگ ها دارای بلورهای ریز فلدسپار، کواتز، مسکویت و کلریت می باشند. بافت موجود در این شیست ها گرانولپیدوبلاستی است. این سنگ دارای فلدسپارهایی با دربرداری های مسکویت هستند. بلورهای مسکویت تحت تاثیر فاز دگرشكلي غالب در منطقه به صورت کشیده و با محور C عمود بر حداقل تنش وارد می شوند (شکل h). پارائزنهای اصلی موجود در سنگ های رسی دگرگون مطالعه شده عبارتند از:

- [۱] Chl+Bt+Ms+Qtz
- [۲] Chl+Bt+Qtz
- [۳] Bt+Ms+Qtz
- [۴] Chl+Bt+Ms+Qtz+Grt
- [۵] Bt+Ms+Qtz+Grt
- [۶] Chl+Ms+Qtz

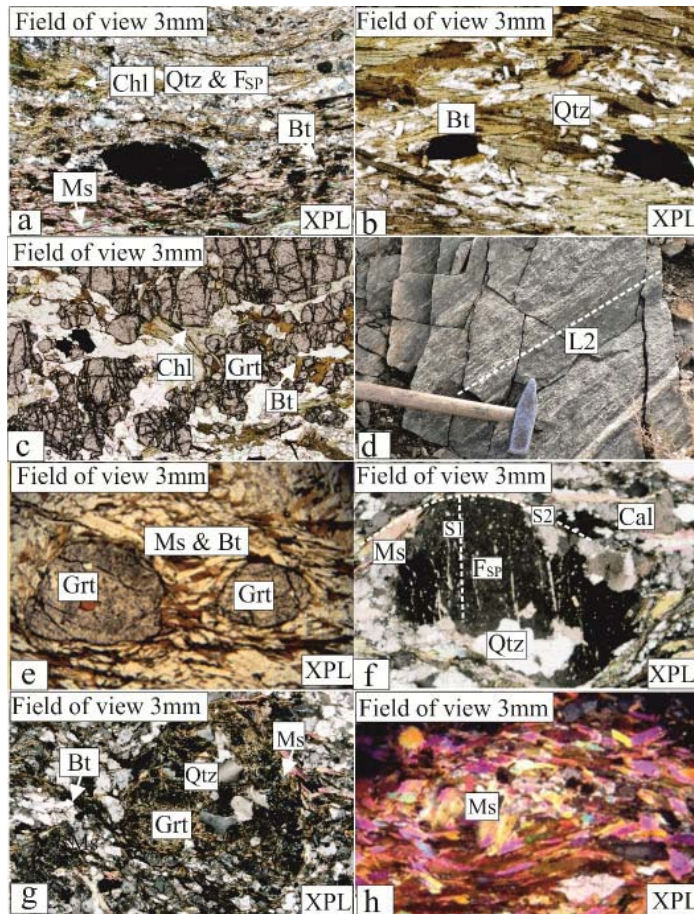
اصلی و فرعی موجود در سنگ های متاپلیتی کوه ارغون در جدول ۱ آورده شده است. اکثر کانی ها اثرات ناشی از تکتونیک، مانند خاموشی موجی، تجدید تبلور و کشیدگی در بلورهای کوارتز و ماکل های حاصل از دگرشكلي در پلاژیوکلازها را نشان می دهند. گارنت ها و فلدسپارها معمولاً حاوی دربرداری های از کوارتز و میکا می باشند و بعضی از آن ها دو مرحله رشد را به خوبی نشان می دهند.

بیوتیت شیست ها

رنگ این شیست ها در نمونه دستی خاکستری می باشد. این شیست ها دارای بافت گرانولوبلاستی، لپیدوبلاستی، پورفیربلاستی و پوئی کیلوبلاستی می باشند. کوارتز و فلدسپار در بین لایه های مسکویت و بیوتیت قرار گرفته اند. در بعضی نمونه ها مرز زیگزاگ کوارتز با کانی های کلریت و مسکویت و همچنین کوارترهای سایه فشاری به وجود آمده است که نشان دهنده رشد پورفیربلاست ها در فشار بالا می باشد. بافت چشمی از دیگر ویژگی های برخی نمونه ها است که نشان دهنده اعمال فشار بر روی این سنگ ها می باشد (شکل a). بیوتیت شیست های مطالعه شده دارای بیوتیت های کشیده و مقادیری مسکویت های کشیده و بافت لپیدو گرانولوبلاستی هستند (شکل b). جهت گیری کانی های مسکویت و بیوتیت شیستوزیت های سنگ را ایجاد کرده اند.

گارنت شیست ها

این شیست ها دارای بافت گرانولوبلاستیکی، پورفیربلاستیکی، پوئی کیلوبلاستیکی و لپیدوبلاستیکی بوده و دارای برگوارگی واضح با بلورهای گارنت هستند. کانی های اصلی این سنگ ها عبارت است از گارنت، میکا و کوارتز که تشکیل دهنده برگوارگی سنگ هستند. از جمله کانی های فرعی می توان به پلاژیوکلاز و اکسید آهن اشاره نمود. اغلب گارنت ها پوئی کیلوبلاستی بوده و اغلب دارای دربرداری های فراوان از کوارتز و مسکویت هستند. دربرداری های کوارتز معمولاً کشیدگی داشته و برگوارگی درونی گارنت را می سازند. برخی گارنت ها دارای سایه فشاری هستند که



شکل ۳. a) نمونه شیست با بافت چشمی که نشاندهنده اعمال فشار بر این سنگ‌ها بوده است. b) بیوتیت‌شیست با بیوتیت‌های کشیده که در اثر فاز دگرشکلی غالب به صورت کشیده قرار گرفته‌اند. c) بلورهای گارنت با شکستگی موازی و درحال تجزیه به بیوتیت و کلریت که نشاندهنده پسروندگی دگرگونی است. d) شکستگی‌های حاصل از رهایی سنگ. e) گارنت‌های ایدیوبلاست و ریزبلور که نشاندهنده رشد بعد از دگرشکلی است. f) آثار S_1 درون پرفیروپلاست‌های فلدسپار. g) گارنت‌شیست همراه با کوارتز‌های دارای خاموشی موجی (h) مسکویت‌های کشیده و جهت‌یافته که طی فاز دگرشکلی دوم بدین صورت قرار گرفته‌اند.

غالب S_2 در شیست‌ها دیده می‌شود (شکل f). در اثر تفرقی در شیست‌ها، لایه‌های کوارتزی جدا شده و به صورت متناوب با لایه‌های غنی از میکا قرار گرفته‌اند که در طی دگرشکلی‌های بعدی چین خورده‌اند (شکل b). در مقیاس میکروسکوپی برگوارگی نسل اول را می‌توان به صورت زاویه‌دار با شیستوزیتۀ خارجی و دربرداری‌هایی از کوارتز و میکا در پرفیروپلاست‌های گارنت و فلدسپار مشاهده کرد (شکل f).

دگرگونی اول (M_1)

هم‌زمان با اولین فاز دگرشکلی (D_1) دگرگونی M_1 اتفاق افتاده است که باعث تبلور کانی‌های کلریت، مسکویت، کوارتز، بیوتیت و گارنت شده است.

دگرشکلی دوم (D_2)

S_2 برگوارگی غالب در منطقه می‌باشد که در بیشتر واحدهای سنگی مشاهده می‌گردد. این دگرشکلی بیشترین اثر را در منطقه گذاشته است، به طوری که دگرشکلی غالب منطقه محسوب

شواهد وجود دگرشکلی‌های مختلف

دگرشکلی اول (D_1)

قدیمی‌ترین دگرشکلی در منطقه می‌باشد که آثار آن به صورت شیستوزیتۀ S_1 دیده می‌شود. در واقع شدت دگرشکلی D_2 در حدی بوده است که شواهد چین خورده‌گی قبلی را از بین برده است. به عبارت دیگر دگرشکلی D_2 موجب چین خورده‌گی در مقیاس ماکروسکوپی، مزووسکوپی و میکروسکوپی نسل قدیمی‌تر S_1 شده است. اولین مرحله دگرشکلی موجب دگرگون شدن رسوبات و سنگ‌های اولیه، تشکیل برگوارگی و چین‌های نسل اول شده است. با توجه به کانی‌های دگرگونی تشکیل شده در این مرحله، درجه دگرگونی در حد رخساره شیست‌سیز تا آمفیبولیت بوده است. آثار دگرگونی به صورت لایه‌بندی تفرقی، تجدید تبلور و رشد کانی‌های گارنت، میکا و فلدسپارها دیده می‌شود. همچنین در بعضی مقاطع که لایه‌های با ترکیب متفاوت دیده می‌شود، مرز بین دو لایه دارای ترکیب متفاوت به احتمال زیاد نشان‌دهنده لایه‌بندی اولیه می‌باشد (شکل a). ریزچین‌ها در منطقه S_1 را نشان می‌دهند. وجود آثار S_1 در درون شیستوزیتۀ

به وجود آمده است. این دگرگونی هم زمان با دگرگونی تاحیه‌ای در منطقه بوده که شیل‌های منطقه را تا درجه پایین شیست سبز دگرگون کرده است (شکل ۴). چین‌های نسل دوم (F_2) دارای چین‌های پارازیتی در قسمت لولا و یال‌های خود هستند و نیز دارای چین‌های روده‌ای هستند (شکل ۴ e, f). دگرگونی دوم (D_2) دگرگونی مهم و غالب منطقه است و با چین‌های بسته به حاصل از چین خوردن S_0 و S_1 است مشخص می‌شود. برگوارگی S_2 به صورت شیستوزیته پیوسته و شیستوزیته فاصله‌دار دیده می‌شود.

مرحله سوم دگرگونی با تشکیل چین‌های بسته تا باز نسل سوم در منطقه نمایان است که چین‌های نسل قبل را دچار چین خوردن گردید (شکل ۴ e, f). این چین‌ها اغلب قائم می‌باشند و محور آن‌ها تقریباً افقی یا با میل کم است. چین‌های جناغی به احتمال زیاد در اثر فاز دگرگونی سوم در منطقه به وجود آمده است دگرگونی سوم در منطقه (D_3) به وسیله چین خوردن S_2 مشخص می‌شود (شکل ۴ g).

شناسایی دگرگونی‌ها و بررسی دقیق رابطه بین دگرگونی‌ها و مراحل دگرگونی نقش مهمی در فهم صحیح مسیرهای P-T-t سنگ‌های دگرگونی دارد و می‌تواند کمک شایانی به فهم و بازسازی تاریخچه تکتونیکی در منطقه داشته باشد. لذا در اینجا به بیان ارتباط بین تبلور کانی‌ها و دگرگونی‌ها پرداخته می‌شود. با توجه به شواهد دگرگونی و پاراژنز کانی‌ها دو مرحله دگرگونی M_1 و M_2 و سه مرحله دگرگونی D_1 , D_2 و D_3 در شیسته‌های رسی منطقه قابل تشخیص است. شکل ۵ نمودار ارتباط زمانی تشکیل کانی‌ها با فازهای دگرگونی اصلی را نشان می‌دهد. شواهد ماکروسکوپی و مزووسکوپی مرحله دگرگونی D_1 به علت شدت تأثیر دگرگونی D_2 در بیشتر قسمت‌های منطقه از بین رفته است. اما در مطالعات میکروسکوپی شواهدی از آن به صورت دربرداری‌هایی درون پورفیروblast‌های گارنت و فلدسپار وجود دارد. مرحله دگرگونی D_2 که فاز دگرگونی اصلی در منطقه است و موجب تشکیل شیستوزیته اصلی در منطقه شده است بر روی ترکیب شیمیایی کانی‌ها نیز تا حدودی تأثیر گذاشته است به گونه‌ای که کانی‌هایی مانند کلریت طی این دگرگونی حذف شده‌اند. دگرگونی D_3 که موجب ایجاد ریزچین بر روی شیستوزیته D_2 شده است تغییری در پاراژنز و ترکیب شیمیایی کانی‌ها ایجاد نکرده است، لذا به عنوان یک فاز دگرگونی در نظر گرفته نمی‌شود.

دیزساخت‌ها

مهمنترین ویژگی‌های حاصل از دگرگونی در سنگ‌های منطقه شامل خاموشی موجی، کشیدگی کانی‌ها، سایه‌فشاری، جهت‌یابی ترجیحی کانی‌ها و میلونیتی شدن است.

خاموشی موجی: بر اثر وارد شدن استرس به کانی‌هایی مانند کوارتز شبکه بلور تحت تاثیر قرار گرفته و از خود خاموشی

می‌شود. و باعث چین خوردنگی و تشکیل برگوارگی‌ها در این تاحیه شده است. این دگرگونی باعث به وجود آمدن چین‌هایی به صورت یال موازی و بسته با سطح محوری خوابیده تا مایل و محور افقی به همراه برگوارگی نسل دوم S_2 به صورت برگوارگی موازی سطح محوری شکل گرفته‌اند و بیشتر در شیسته‌های منطقه قابل مشاهده هستند. این چین خوردنگی با ایجاد شیستوزیته به موازات سطح محوری چین‌ها، شیستوزیته اصلی منطقه را به وجود آورده است. این برگوارگی در میکاشیست‌ها را می‌توان به صورت برگوارگی فاصله‌دار، شامل تناوبی از کانی‌های میکا، کوارتز و برگوارگی پیوسته شامل کانی‌های کشیده و جهت‌یافته کلسیت، کوارتز و کانی‌های میکایی مشاهده کرد. برگوارگی S_1 به صورت برگوارگی قدیمی‌تر در بخش‌های ریزسنگ^۱ و در فاصله برگوارگی S_2 دیده می‌شود (شکل ۴c). از این‌رو برگوارگی S_1 را می‌توان درون گارنت‌ها و فلدسپارها مشاهده کرد (شکل ۴f).

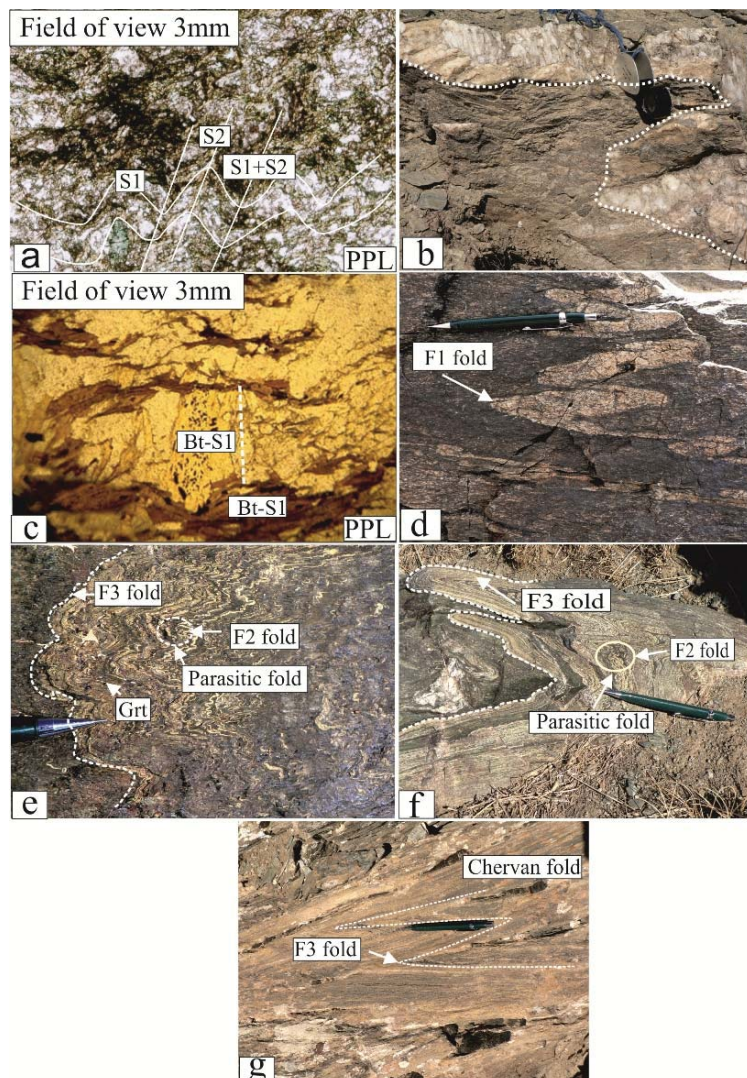
دگرگونی دوم (M_2)

دگرگونی دوم هم‌زمان با دگرگونی D_2 به صورت پیشرونده صورت گرفته است که سبب تبلور پورفیروblast‌های درون شیسته‌ها شده است. تبلور گارنت جدید و همچنین تبلور دیواره گارنت‌های قدیمی که در M_1 وجود داشته‌اند و در بعضی مقاطع حالت زونه نشان می‌دهند (سرخوشی، ۱۳۹۰) و تبدیل آن به گارنت‌های ایدیوblast و بیوتیت در این فاز رخ داده است. مجموعه کانی‌شناسی M_2 شامل گارنت، بیوتیت و مسکویت می‌باشد.

دگرگونی سوم (D_3)

این رویداد پس از اوج حرارتی و فشاری (اوج دگرگونی) بر مجموعه‌های سنگی منطقه مورد مطالعه اثر کرده است. به دلیل شدت کمتر این دگرگونی در قیاس با دگرگونی‌های پیشین، اثرات قابل ملاحظه‌ای بر جای نگذاشته است. در مشاهدات صحرایی کانی‌های میکایی که به موازات سطح S_2 انتظام یافته‌اند، چین خورده و کم و بیش به موازات S_3 تجدید تبلور و آرایش یافته‌اند. رویداد D_3 ساختمان‌های D_2 را به وسیله چین خوردنگی‌های مایل F_3 با سطح محوری پرشیب به سمت خاور و جنوب خاور و با محور با میل ملایم مجدداً چین داده است.

چین‌های ماکروسکوپی حاصل از دگرگونی‌ها و ارتباط آن‌ها با برگوارگی‌های موجود چین‌های مرحله اول دگرگونی (F_1) به ندرت در بروزندها مشاهده می‌شوند و علت آن شدت مرحله دوم دگرگونی در این مجموعه سنگی است که عمدتاً آثار دگرگونی قبلی را از بین برده است. چین‌های نسل اول (F_1) به صورت خوابیده، بسته تا هم‌شبیب می‌باشند و سطح محوری آن‌ها به موازات لایه‌بنای اولیه است. دگرگونی اول (D_1) همراه با چین‌های بسته F_1 مشخص می‌شود و از چین خوردن S_0



شکل ۴. a) ریزچین‌ها در شیسته‌ها که S_1 و S_2 را به وضوح اثبات می‌کنند. b) رگه کوارتز بلورین که در طی دگرشکلی چین خورده است. c) بلورهای بیوتیت نسل اول (Bt- S_1) که به صورت برگوارگی قدیمی تر S_1 در بخش ریزستگ برگوارگی فاصله‌دار تشکیل شده‌اند. بیوتیت‌های نسل دوم (Bt- S_2) در بخش حوضه رخ دیده می‌شوند و برگوارگی S_2 را تشکیل داده‌اند. d) نمایی از چین‌های نسل اول (F_1) به صورت خوابیده که سطح محوری آن موازی لایه‌بندی اولیه است. e) چین‌های نسل دوم و سوم (F_2 , F_3) به همراه چین‌های پارازیتی که حاصل دگرشکلی نسل دوم است. f) چین‌های نسل دوم و سوم (F_2 , F_3) به همراه چین‌های روده‌ای که حاصل دگرشکلی دوم است. g) چین‌های جناغی که حاصل چین خوردنگی نسل سوم (F_3) است و دارای سطح محوری تقریباً افقی و یا با میل کم هستند.

مراحل دگرشکلی	D ₁	D ₂	D ₃
مراحل دگرگونی نام کانی‌ها	M ₁	M ₂	-
Chl	—	—	—
Ms	—	—	—
Bt	—	—	—
Grt	—	—	—
Qtz	—	—	—

شکل ۵. نمودار ارتباط زمانی تشکیل کانی‌ها با فازهای دگرشکلی اصلی.

بوده و به درون دانه‌های مجاور تورم^۳ نموده است (شکل ۶d). این فرایندها نشان‌دهنده رژیم تغییرشکل شماره ۳ تولیس می‌باشد (Tullis, 1980) در این نوع رژیم مرز دانه کوارتز با انرژی بیشتر به درون دانه مجاور کوارتز با انرژی کمتر تورم می‌نماید و به نام تبلور دوباره با جابجایی مرز دانه‌ها نامیده می‌شود. در سنگ‌های کمتر دگرشكل شده پلازیوکلازها تجدید تبلور اندکی یافته‌اند و لبه آن‌ها بر اثر مهاجرت مرز دانه در مقیاس خیلی کوچک دندانه‌ای و کنگرهای شده است (برای مثال 1990 Drury and Urai). کنگره‌دار شدن حاشیه‌های پلازیوکلاز ناشی از تفاوت انرژی آزاد داخلی پلازیوکلاز نسبت به دانه‌های کوارتز و اختلاف بین میزان تغییرشکل این کانی‌ها در برابر دگرشكلی است. به عبارت دیگر هنگامی که این دانه‌ها در مجاورت هم قرار می‌گیرند، چون اتم‌های موجود در مرز دانه‌های کوارتز از تحرک پخوردارند از سطح این دانه‌ها جدا شده و به شبکه ساختاری پلازیوکلاز که در برابر تغییرشکل مقاوم‌ترند و اتم‌های آن‌ها تحرک کمتری دارند، متصل می‌شوند. این امر باعث تجدید تبلور کانی‌ها و جابجایی مرز بلورهای پلازیوکلاز به سمت دانه‌های کوارتز می‌شود (Pass - Pass (شکل ۶e).

گارت: رشد بلورهای گارت در ارتباط با دگرشكلی است به طوری که در مقاطع مطالعه شده، دو نسل از این پورفیروblastها قابل تشخیص است. رشد نسل اول گارت، قبل از دگرشكلی بوده که برگوارگی داخلی S₁ به صورت مستقیم و خمیده در آن‌ها دیده می‌شود. این نسل از گارت‌ها دارای سایه کرنش هستند که از کوارتز و فلدسپار پر شده‌اند (شکل ۶g). برگوارگی میلیونیتی که شامل کانی‌های میکا و کوارتز است، این گارت‌ها را دور می‌زنند. در رشد بعد از دگرشكلی D₂ که در گارت میکاشیست‌ها دیده می‌شود، گارت‌ها شکل دار بوده و برگوارگی S₂ را قطع می‌کنند. **میکا:** بیوتیت‌های موجود در سنگ‌های دگرگونی ناحیه‌ای (گارت میکاشیست‌ها)، رشد در دو مرحله را نشان می‌دهند. بیوتیت‌های نسل اول طی دگرشكلی D₁ به وجود آمده‌اند و به صورت بافت‌های قدیمی تر در بخش ریزسنگ^۴ برگوارگی فاصله‌دار S₂ مشاهده می‌شوند. بیوتیت‌های نسل دوم در بخش حوضه رخ^۵ قرار گرفته‌اند (شکل ۶c). مسکویت‌های موجود در سنگ نیز مانند بیوتیت‌ها هم نسل اول بوده و در جهت S₁ هستند و هم نسل دوم و در جهت برگوارگی S₂ قرار گرفته‌اند (شکل ۶f).

شرایط فشار - دمای تشكیل سنگ‌های منطقه

محاسبه ترموبارومتری سنگ‌های فوق با استفاده از روش‌های متداول ترموبارومتری در منطقه جنوب غرب ماه - نشان محاسبه شده است (سرخوشی، ۱۳۹۰) که در این تحقیق به اجمالی به یکی از این روش‌های محاسبه فشار - دما اشاره شده است.

موجی نشان می‌دهد. خاموشی موجی در بعضی فلدسپارها هم دیده می‌شود. خاموشی موجی در کوارتز، پلازیوکلاز و فلدسپار پاتاسیم موجود در گنیس‌ها و همچنین شیسته‌های منطقه دیده می‌شود که احتمالاً نشانه فاز فشاری D₂ به عنوان فاز غالب در منطقه می‌باشد (شکل ۶a).

سايه فشاری: در نمونه‌های مطالعه شده در دو طرف پورفیروblast‌های گارت و فلدسپار به علت کاهش تنش، کانی‌هایی مانند کوارتز و فلدسپار رشد کرده‌اند که نسبت به زمینه درشت‌ترند. این پورفیروblast‌ها در M₁ وجود داشته‌اند و توسط برگوارگی تشکیل شده در دگرشكلی دوم در بر گرفته شده‌اند (شکل ۶g).

جهت‌یابی ترجیحی کانی‌ها: کانی‌های ورقه‌ای میکا، کوارتز و فلدسپار در اثر تنش با انحلال فشاری در جهت بیشترین فشار حل شده و در جهت کمترین فشار متابولر گشته‌اند. این امر باعث جهت یافته‌گی ترجیحی کانی‌ها شده است. در تمامی شیسته‌های منطقه جهت‌یابی ترجیحی کانی‌ها دیده می‌شود.

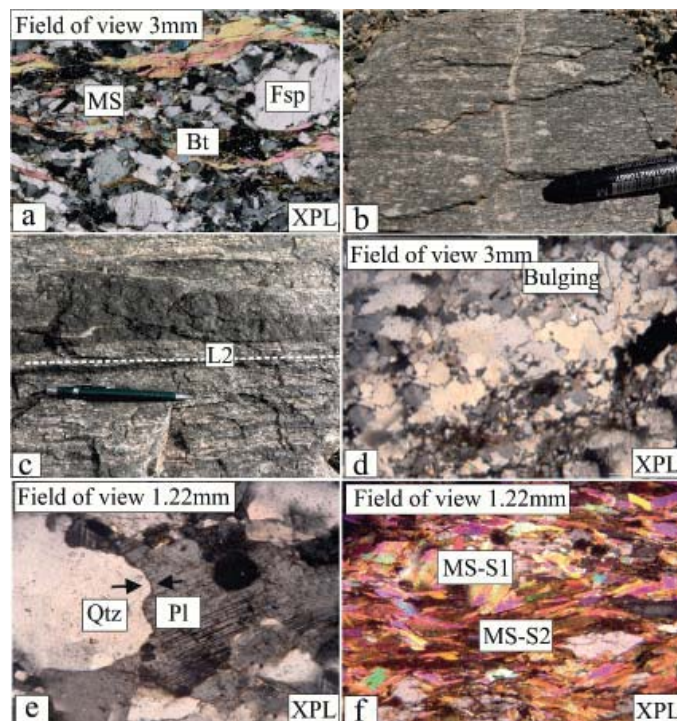
میلیونیتی شدن: در زون‌های برشی توسعه یافته در منطقه، به خصوص در نزدیکی گسل بزرگ زندان سليمان، نمونه‌های میلیونیتی دیده می‌شوند. در این نمونه‌ها کانی‌های بسیار ریز بلور زمینه سنگ به صورت نواهایی حول دانه‌های درشت‌تر که معمولاً قطعه سنگی بوده و کمتر تک بلور هستند، پیچ خورده‌اند. این موضوع موجب تشکیل چشم‌ها در این سنگ‌ها شده است. بعضی از چشم‌ها، پرفیروکلاست‌هایی هستند که از بلورهای باقیمانده یا مجموعه‌ای از بلورهای سنگ مادر تشکیل شده‌اند. پرفیروکلاست‌ها معمولاً یا توسط دنباله‌های سایه‌فشاری ناشی از بسیار ریز حاصل از تبلور مجدد (اغلب غیرمتقارن) احاطه شده‌اند (شکل ۶b).

خطوارگی: در تحلیل‌های ساختاری، خطوارگی اغلب تقاطع رخ - لایه‌بندی، در نظر گرفته می‌شود. زیرا این خطوارگی نشانه‌ای از جهت‌یابی چین را در ناحیه‌ای که لولاه رخمنون ندارند به دست می‌دهد. با این حال نوع خطوارگی تشکیل شده در سنگ‌های دگرگونی کوه ارغون، از نوع خطوارگی کشیدگی^۶ است. کانی‌ها در جهت عمود بر بیشترین تنش کشیده شده‌اند که این کشیدگی در کوارتز و فلدسپار در شیسته‌های منطقه به خوبی دیده می‌شود (شکل ۶c).

مطالعه ریزساختارها در کانی‌های کوارتز، گارت و میکاها

کوارتز: این کانی فراوان‌ترین کانی موجود در شیسته‌ای منطقه است. مرز بین دانه‌های کوارتز در بیشتر مناطق دندانه‌دار

1. Stretching lineation
2. Serrated
3. Bulging
4. Microlithon
5. Cleavage domain

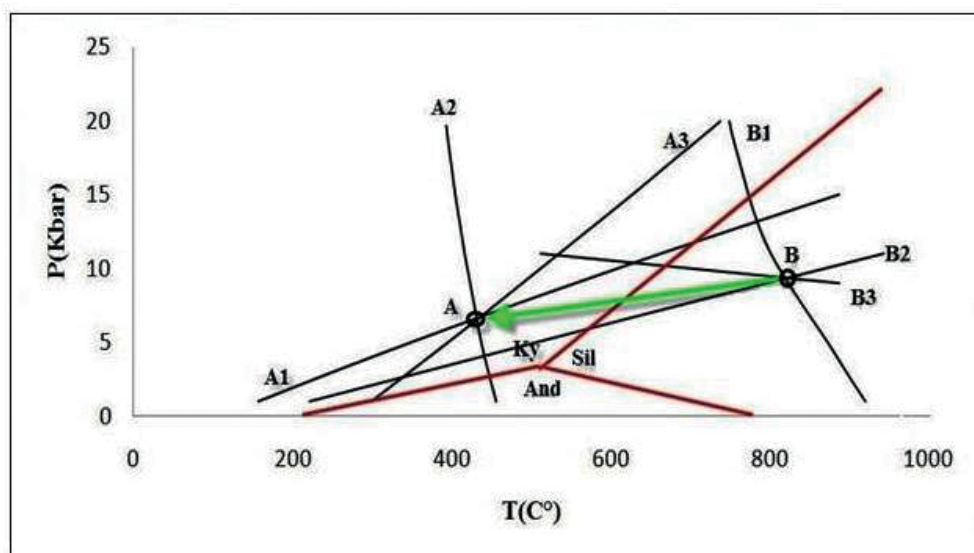


شکل ۶- (a) کشیدگی کانی‌ها همرا با خاموشی موجی کوارتز و فلدسپلارها ناشی از دگر‌شکلی دوم در منطقه. (b) میلونیت چشمی در نمونه‌های صحرابی مربوط به فاز دوم دگرگونی. (c) خطرارگی‌های موجود در منطقه مورد مطالعه. (d) شیست حاوی کوارتز که مرز بین دانه‌های کوارتز در بیشتر مناطق دندانه‌دار بوده و به درون دانه‌های مجاور متورم شده‌اند. (e) مهاجرت مرز دانه پلاژیوکلاز به داخل کوارتز که با جهت فلاش نشان داده شده است. (f) بلورهای مسکویت نسل اول (Bt-S1) که به صورت برگوارگی قدیمی‌تر S1 در بخش ریز سنگ برگوارگی فاصله‌دار تشکیل شده‌اند. مسکویت‌های نسل دوم (Bt-S2) در بخش حوضه رخ دیده می‌شوند و برگوارگی S2 را تشکیل داده‌اند.

پایداری دمای پایین بر محدوده پایداری کیانیت منطبق است. محل تقاطع منحنی‌های واکنشی در شکل ۷ واکنش‌های دما پایین با دمای حدود ۴۵۰ درجه سانتی‌گراد و فشار ۷ کیلوبار و برای واکنش‌های دما بالا با دمای حدود ۸۰۱ درجه سانتی‌گراد و فشار

ترموometری و بارومتری با استفاده از تعادل کانی‌شناسی چندگانه^۱

ترسیم منحنی فوق به همراه نمودار پایداری پلی‌مورف‌های آلومینوسیلیکات بر روی شکل ۷ نشان داده شده است. محدوده



شکل ۷. تعادل کانی‌شناسی چندگانه برای سنگ‌های پلیتی (حداکثر فشار-دما با نقطه B و حداقل فشار - دما با نقطه A مشخص گردیده است).

1. Multiple-equilibria calculations
2. Exhumation

نتیجه‌گیری

با توجه به مطالعات پتروگرافی ۳ گروه سنگی گارنت‌شیست‌ها، میکاشیست‌ها و موسکویت‌شیست‌ها در مجموعه سنگی رس‌های دگرگون منطقه کوه ارغون مشخص شد. بیشتر کانی‌ها به صورت جهت یافته در نمونه‌ها قرار گرفته‌اند. این امر نشان دهنده تاثیر نیروهای دگرگشکلی در حین تشکیل کانی‌ها و بعد از تشکیل آن‌هاست. شواهد پتروگرافی مانند شکستگی‌های موازی در گارنت‌ها و تجزیه آن به کانی‌های بیوتیت و کلریت نشان‌دهنده کاهش فشار طی فرایند بالآمدگی و دگرگونی پسروند می‌باشد. با مطالعه مکروسکوپی و میکروسکوپی این سنگ‌ها، ۳ فاز دگرگشکلی D1، D2 و D3 مشخص گردید. دو فاز دگرگشکلی D1 و D2 هم‌زمان با دو فاز دگرگونی M1 و M2 بوده و فاز دگرگشکلی D3 باعث دگرگونی سنگ‌ها نشده است. D2 از D1 قوی‌تر بوده و تقریباً اثرات آن را از بین برده است. شیستوزیت S1 هم‌زمان با دگرگونی ناحیه‌ای M1 و فاز D1 ایجاد شده است. رویداد زمین‌ساختی اصلی هم‌زمان و به دنبال نفوذ سنگ‌های گابرو‌دیوریتی به داخل مجموع دگرگونی کوه ارغون روی داده است. با افزایش دما و فشار و اثر بیشتر دگرگشکلی، تبلور کانی‌ها تشدید شده و فاز D2 و دگرگونی M2 روی داده است که باعث شده شیستوزیت S2 به وجود آید. کانی‌های کلریت، بیوتیت، موسکویت، کوارتز و گارنت طی مرحله اول دگرگشکلی متبلور شده‌اند. تمامی این کانی‌ها به جز کلریت در مرحله دوم دگرگشکلی و دگرگونی تشکیل شده‌اند. نبود کلریت در مرحله دوم می‌تواند نشان دهنده درجه بالاتر دگرگونی در این مرحله باشد.

تشکر و قدردانی

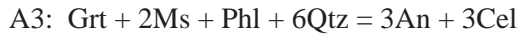
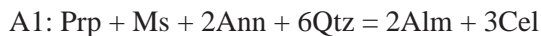
از معاونت تحصیلات تكمیلی دانشگاه زنجان برای حمایت مالی از این پژوهش قدردانی می‌شود.

منابع

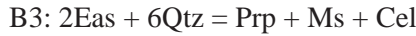
- سرخوشی. ع.، ۱۳۹۰. بررسی سنگ‌های دگرگونی شرق کوه بلقیس، جنوب غرب ماهنشان، پایان نامه کارشناسی ارشد، دانشگاه زنجان.
- بهنام، ص.، ۱۳۹۰. پتروگرافی و ژئوشیمی توده نفوذی دگرگون شده کوه ارغون، ماهنشان، پایان نامه کارشناسی ارشد، دانشگاه زنجان.
- Barker, A.J., 1990. Introduction to Metamorphic Textures and Microstructures. Glasgow, Blackie. 280.
- Bell, T.H. and Johnson, S.E., 1989. Porphyroblast inclusion trails: the key to orogenesis. Journal of Metamorphic Geology, 3, 109-118.
- Berberian, M., and King, G.C.P., 1982. Towards a paleogeography and tectonic evolution of Iran. Canadian

۹ کیلوبار را نشان می‌دهد. محل تقاطع واکنش‌های دما بالا در محدوده پایداری سیلیمانیت قرار می‌گیرد. واکنش‌های حاصل برای دما بالا (نقطه A) و دما پایین (نقطه B) که با استفاده از نرم‌افزار ترمومکالک به دست آمده است به صورت زیر است.

A:



B:



فاز دوم دگرگونی ناحیه‌ای همراه با نفوذ توده‌های گابرو‌دیوریتی در منطقه است. موازی بودن روند توده‌های نفوذی در منطقه با امتداد گسل‌های اصلی و نیز موازی بودن برگوارگی در توده با سطوح شیستوارگی حاصل از دگرگونی ناحیه‌ای می‌تواند دلیلی بر هم‌زمانی جایگزینی توده با تغییرشکل‌های ناحیه‌ای باشد. پلوتون‌هایی که در حین دگرگونی ناحیه‌ای نفوذ می‌کنند به همراه سنگ‌های میزان خود حاوی اطلاعات زیادی در مورد زمان و ماهیت جنبش‌های ناحیه‌ای و شرایط حرارتی حاکم بر شیستم در طی سرد شدن ماقما می‌باشند. زمان جایگزینی یک پلوتون می‌تواند از صد هزار سال تا چند میلیون سال طول بکشد بنابراین پلوتون‌هایی که در حین دگرگونی ناحیه‌ای نفوذ می‌کنند، می‌توانند قسمتی از تاریخچه شرایط تکتونوتermal ناحیه‌ای را ثبت کنند و سپس با ترکیب کلیه اطلاعات می‌توان چرخه یا مسیر حرارت و فشار ناحیه‌ای را تخمین زد. توده‌های نفوذی که هم‌زمان با دگرگونی ناحیه‌ای نفوذ می‌کنند، اگر کاملاً هم‌زمان با دگرگونی ناحیه‌ای باشند و دمای توده نزدیک به دمای سنگ‌های درون‌گیر باشد، هاله‌های دگرگونی آن‌ها از گسترش و ضخامت بسیار کمی برخوردار است که این امر به دلیل کم بودن تفاوت دمایی بین توده و سنگ‌های اطراف می‌باشد. دمای توده نفوذی منطقه در مراحل نهایی تبلور و نفوذ در سنگ‌های اطراف مورد مطالعه ۵۶۰ درجه سانتیگراد به دست آمده است (بهنام، ۱۳۹۰). دگرگشکلی دوم در منطقه همراه با اوج دگرگونی در منطقه بوده است. همانطور که در شکل ۷ ملاحظه می‌شود کاهش دما (حدود ۲۵۱ درجه سانتی‌گراد) به ازای کاهش کمتر فشار (حدود ۲ کیلوبار) در سنگ‌های رسی دگرگون شده منطقه مورد مطالعه دیده می‌شود. احتمالاً کاهش دما با فرسایش و بالآمدگی^۱ حدود هفت کیلومتر صورت گرفته است. به احتمال زیاد با تاثیر دمایی توده‌های نفوذی که هم‌زمان با دگرگونی ناحیه‌ای نفوذ کرده‌اند، گارنت در دمای بالاتری در حین بالا آمدگی منطقه رشد کرده و سپس با از دست رفتن دما، در فشار تقریباً ثابت در دمای کمتری رشد کرده است.

Journal of Earth Sciences, 18, 210 – 265.

- Best, M. G., 2003. Igneous and Metamorphic Petrology. Australia: Blackwell. 335.

- Bucher, K. and Grapes, R., 2011. Petrogenesis of Metamorphic Rocks. Springer-Verlag. 441.

- Drury, M.R. and Urai, J.L., 1990. Deformation-related recrystallisation processes. Tectonophysics, 172, 235–253.

- Hajialioghli, R., Moazzen, M., Droop, G.T.R., Oberhansli, R., Bousquet, R., Jahangiri, R., and Ziemann, M., 2007. Serpentine polymorphs and P-T evolution of meta-peridotites and serpentinites in the Takab area, NW Iran. Mineralogical Magazine, 71,2, 203-222.

- Kretz, R., 1983. Symbols for rock-forming minerals. American Mineralogist, 68, 277-279.

- Marshak, S. and Mitra, G., 1988. Basic methods of Structural Geology. Prentice-Hall. 446.

- Moazzen, M., Oberhansli, R., Hajialioghli, R., Moller, A., Bousquet, R., Droop. G.T.R., Jahangiri, A., 2009. Peak and post-peak P-T conditions and fluid composition for

scapolite-clinopyroxene-garnet calc-silicates from the Takab area, NW Iran. European Journal of Mineralogy, 21, 149-162.

- Passchier, C.W., and Trouw, R.A.J., 1996. Microtectonics. Springer Verlag, Berlin,Heidelberg. 366.

- Spry, A., 1969. Metamorphic Textures. Oxford, Pergamon.

- Timms, N.E., 2003. Garnet porphyroblast timing and behavior during fold evolution: implications from a 3-D geometric analysis of a hand- sample scale fold in schist. Journal of Metamorphic Geology, 21, 853-873.

- Tullis, T.E., 1980. The use of mechanical twinning in minerals as a measure of shear stress magnitudes. Journal of Geophysical Research, 85, 6263-6268.

- Vernon R.H., 1994. A practical guide to rock microstructure. Cambridge University Press, 650.

- Yardley, B.W.D., 1989. An introduction to Metamorphic Petrology. Edinburgh, Longman. 248.